

Полученные данные по термодеструкции линейного поли-*N*-метилэтиленимина отличаются от известных [9] отсутствием деполимеризации полимера, что связано, по-видимому, с различными методами синтеза исследуемых полимеров: прямой полимеризацией *N*-метилэтиленимина в данной работе и метилированием линейного полиэтиленимина в работе [9].

Синтез поли-*N*-метилэтиленимина и условия ГЖХ-анализа продуктов термодеструкции на приборе ЛХМ-8МД описаны в работе [5]. Димер получали из *N*-метилэтиленимина и эфира трехфтористого бора, взятых в соотношении 2:1, в ТГФ при использовании высоковакуумной техники заполнения ампул. Он представляет собой бесцветный аморфный продукт (т. пл. 17°). Найдено %: С 40,62; Н 8,54; N 15,50.  $C_8H_{14}N_2BF_3$ . Вычислено, %: С 39,57; Н 7,76; N 15,39. Термодеструкцию полимера проводили в отвакуумированных ампулах при 300° в течение 1 ч. Спектры ПМР регистрировали для растворов веществ в  $CDCl_3$  на приборе ДА-601Л (внутренний эталон тетраметилсиликан).  $T_c$  определяли на приборе УИП-70. Термогравиметрические кривые снимали на электронных термовесах фирмы «Сетарам» в атмосфере гелия. Дифрактометрические кривые записывали на дифрактометре ДРОН-2. ММ определяли эбулиоскопически и методом Арчибальда на ультрацентрифуге в метилэтилкетоне и абсолютном этаноле. Масс-спектры получали на приборе MS-30 («Кратос», Англия) с системой обработки данных DS-50 при ионизирующем напряжении 70 В в интервале температур системы прямого ввода пробы 50–400°.

Авторы благодарят Ю. С. Некрасова за участие в обсуждении результатов работы.

#### ЛИТЕРАТУРА

1. Жук Д. С. В кн.: Полимерные амины: синтез мономеров, полимеризация и пути использования в народном хозяйстве. М.: ИНХС АН СССР, 1981.
2. Okanate Y., Kunitake T. J. Polymer Sci. Polymer Chem. Ed., 1978, v. 16, № 8, p. 1865.
3. Pshezhetzkii V. S., Murtazaeva G. A., Kabanov V. A. Europ. Polymer J., 1974, v. 10, № 7, p. 581.
4. Saegusa T., Kobayashi S., Yamada A., Kashinura S. Polymer J., 1979, v. 11, № 1, p. 1.
5. Пономаренко В. А., Чекулаева И. А., Богачева Н. Б., Городецкая Е. Ю., Игнатенко А. В. Высокомолек. соед. Б, 1981, т. 23, № 3, с. 235.
6. Пономаренко В. А., Чекулаева И. А., Богачева Н. Б., Игнатенко А. В. Высокомолек. соед. Б, 1981, т. 23, № 3, с. 230.
7. Мадорский С. Л. Термическое разложение органических полимеров. М.: Мир, 1967, с. 14.
8. Cornu A., Massot R. First supplement to complication of mass spectral data. G. B.: Heyden and Son Limited, 1967, part A, p. 13.
9. Неделько В. В., Корсунский Б. Л., Дубовицкий Ф. И., Ананьина О. В. Высокомолек. соед. А, 1977, т. 19, № 7, с. 1599.

Институт органической химии  
им. Н. Д. Зелинского АН СССР

Поступила в редакцию  
27.III.1983

Институт элементоорганических  
соединений им. А. Н. Несмеянова  
АН СССР

УДК 541.64:247.1'128

#### ПОЛИМЕРИЗАЦИЯ ОРГАНОЦИКЛОСИЛОКСАНОВ В ПРИСУТСТВИИ ИОННЫХ ФТОРИДОВ

Тартаковская Л. М., Копылов В. М., Жданов А. А.

Известно, что ионные фториды проявляют высокую катализическую активность, подобно типичным нуклеофильным катализаторам в реакциях кремнийорганических соединений: восстановления [1], дегидроконденсации [2] и гидролиза [3]. Показано также, что ионные фториды катализируют полимеризацию органоциклоксилоксанов [4].

Настоящая работа посвящена изучению особенностей реакции полимеризации органоциклоксилоксанов в присутствии ионных фторидов.

Изучение катализитической активности ионных фторидов по отношению к различным органоциклоксилоксанам показало, что она сохраняется такой же, как и для других типов нуклеофильных катализаторов, и уменьшается в ряду  $[\text{MePhSiO}]_3 (\text{A}_3) > [\text{Me}_3\text{SiO}]_3 (\text{D}_3) > [\text{Me}_2\text{SiO}]_4 (\text{D}_4)$  при уменьшении относительной активности самих фторидов в ряду  $\text{Me}_4\text{NF} \approx \text{Bu}_4\text{NF} \cdot 2\text{H}_2\text{O} > \text{CsF} > \text{KF}$ .

Так, если  $\text{D}_4$  не полимеризуется в блоке в присутствии KF и CsF вплоть до  $140^\circ$ , то полимеризация  $\text{A}_3$  в присутствии 0,05% KF наблюдалась при  $100^\circ$  (конверсия через 60 ч составила 45%,  $[\eta] = 0,18 \text{ дL/g}$ ), а в

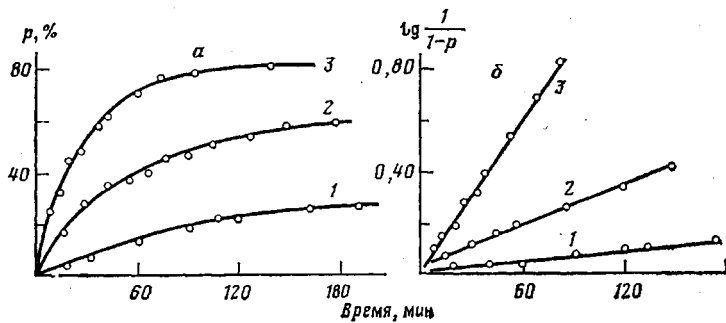


Рис. 1

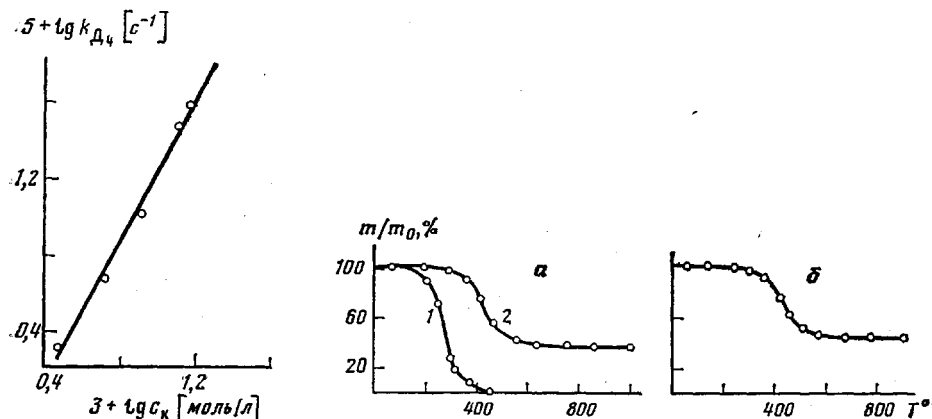


Рис. 2

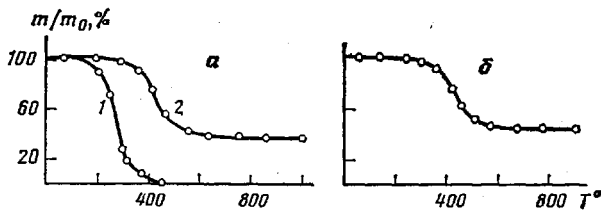


Рис. 3

Рис. 1. Зависимость конверсии (а) и  $\lg [1/(1-p)]$  (б) от времени при полимеризации  $\text{D}_4$ , катализируемой 0,003 (1), 0,009 (2), 0,015% (3)  $\text{Me}_4\text{NF}$

Рис. 2. Зависимость  $\lg k_{\text{D}_4}$  от  $\lg [\text{Me}_4\text{NF}]$  при полимеризации  $\text{D}_4$ , катализируемой  $\text{Me}_4\text{NF}$

Рис. 3. Изменение массы при ТГА полиметилфенилсилоксана, полученного полимеризацией  $\text{A}_3$  в присутствии CsF (1 — не дезактивированного, 2 — дезактивированного триметилхлорсиланом) (а) и полидиметилсилоксана, полученного полимеризацией  $\text{D}_4$  в присутствии  $\text{Me}_4\text{NF}$  и прогретого при  $150^\circ/133 \text{ Па}$  в течение 6 ч (б)

присутствии 0,05 CsF при  $50^\circ$  (конверсия через 60 ч составила 73%,  $[\eta] = 1,0 \text{ дL/g}$ ). Полимеризация  $\text{D}_4$  в присутствии 0,005%  $\text{Me}_4\text{NF}$  или  $\text{Bu}_4\text{NF} \cdot 2\text{H}_2\text{O}$  проходит за 3 ч при  $100^\circ$  (конверсия  $\text{D}_4$  в полимер 84 и 82%,  $[\eta]$  для переосажденных полимеров 1,25 и 1,21 дL/g соответственно).  $\text{D}_3$  полимеризуется при этой же температуре в присутствии 0,005%  $\text{Me}_4\text{NF}$  за 30 мин, а  $\text{A}_3$  за 3 мин (выход полимеров 96 и 83%,  $[\eta]$  для переосажденных полимеров 0,92 и 0,85 дL/g соответственно).

Различия в реакционной способности органоциклоксилоксанов отчетливо проявляются также при сополимеризации  $\text{D}_4$  и  $\text{A}_3$ , взятых в мольном соотношении 1 : 1,33 в присутствии 0,005%  $\text{Me}_4\text{NF}$  при  $100^\circ$ . В начале реакции происходит полимеризация  $\text{A}_3$  с образованием полиметилфенилси-

локсанового полимера и с выделением из реакционной смеси  $\Delta_4$ . Однако при дальнейшем проведении реакции  $\Delta_4$  вступает в реакцию и реакционная смесь становится однородной (выход полимерных продуктов после переосаждения 73% и  $[\eta]$  для переосажденного полимера 2,7 дL/g). Образование однородного прозрачного полимера можно объяснить образованием сополимера, так как известно, что полидиметилсилоксан и полиметилфенилсилоксан не совмещаются друг с другом. Изучение состава фракций продуктов сополимеризации, выделенных дробным осаждением метанолом из толуольного раствора, методом ПМР-спектроскопии по соотношению интегральных интенсивностей протонов метильных и фенильных групп показало, что соотношение  $H_{Me} : H_{Ph} = 1 : 1,7 \pm 0,1$ , что соответствует соотношению звеньев  $Me_2SiO : MePhSiO = 1 : 0,9 \pm 0,1$  и в пределах ошибки определения согласуется с исходным соотношением звеньев. Это указывает на образование статистического сополимера.

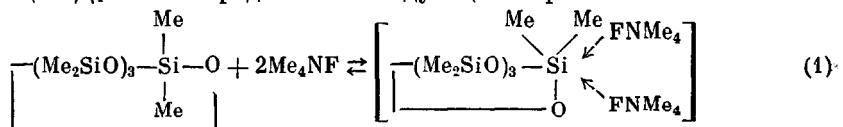
Активность фторидов значительно возрастает в присутствии ДМФ. Так, KF (1%) и CsF (1%) вызывают полимеризацию  $\Delta_4$ , растворенного в ДМФ (50%-ный раствор) при 100° (через 3 ч конверсия цикла в полимер составила 64 и 60%, а  $[\eta]$  для переосажденных полимеров 0,82 и 0,63 дL/g соответственно). При использовании в качестве катализатора 0,3%-ного раствора  $Me_4NF$  (0,005% в пересчете на  $Me_4NF$ ) в ДМФ при 100° реакция полимеризации до равновесного состояния проходит за 20 мин.

Более высокая катализитическая активность тетраалкиламмонийфторидов по сравнению со фторидами щелочных металлов обусловлена, по-видимому, их более высокой нуклеофильностью и растворимостью в реакционной среде.

Для выявления закономерностей реакции изучали кинетику полимеризации  $\Delta_4$  в блоке в присутствии различных количеств  $Me_4NF$  при 80° по изменению текущей концентрации  $\Delta_4$  (рис. 1, а).  $Me_4NF$  использовали в виде 0,3%-ного раствора в ДМФ. Реакции проводили таким образом, чтобы концентрация ДМФ оставалась постоянной и составляла 4,7% (соответствует максимальному количеству ДМФ, вводимому с катализатором) от массы  $\Delta_4$ .

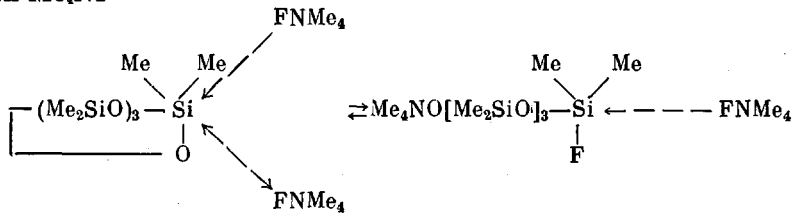
Из полученных результатов следует, что реакция имеет первый порядок по текущей концентрации  $\Delta_4$  (рис. 1, б) и второй по начальной концентрации катализатора (рис. 2). Уравнение скорости реакции имеет следующий вид  $w = -k_{\Delta_4} [\Delta_4] \cdot [Me_4NF]^2$ . Следует отметить, что в присутствии обычных нуклеофильных катализаторов порядок по катализатору не превышает единицы [5].

С нашей точки зрения, второй порядок по катализатору связан с образованием промежуточного комплекса с шестикоординационным атомом кремния, в котором принимают участие две молекулы катализатора. Это согласуется с кинетическими данными, полученными при изучении реакции дегидроконденсации органогидридсиланов со спиртами в присутствии  $Me_4NF$  [2], и с данными по взаимодействию кремнийорганических соединений с ионными фторидами и HF [6, 7], из которых следует, что образование соединений с шестикоординационным атомом кремния характерно для кремнийорганических соединений, и они обладают повышенной реакционной способностью по связи кремния с другими заместителями (в рассмотренных случаях по связям Si—C и Si—H). Начальную стадию реакции полимеризации  $\Delta_4$  можно представить следующим образом:



Далее происходит раскрытие цикла, входящего в комплекс, с образованием линейной молекулы, на одном конце которой находится силоксанолятная группа, а на другом — диметилфторсилоксигруппа в комплексе с мо-

молекулой  $\text{Me}_4\text{NF}$



Рост цепи, возможно, происходит за счет взаимодействия концевых групп, принадлежащих разным молекулам, что приводит к образованию связи  $\equiv\text{SiOSi}\equiv$  и выделению двух молекул катализатора



Параллельно с этим рост цепи возможен за счет взаимодействия силоксанолятной тетраметиламмониевой группы с молекулой  $\text{D}_4$



Из данных ГЖХ низкомолекулярных продуктов полимеризации  $\text{D}_4$  и  $\text{A}_3$  следует, что наряду с реакцией полимеризации идут также процессы деполимеризации. Так, в продуктах полимеризации  $\text{D}_4$  были обнаружены  $\text{D}_5$  и  $\text{D}_6$ , а в продуктах полимеризации  $\text{A}_3$  – восьмичленные метилфенилциклоксилканы.

Исследование полимеров, полученных полимеризацией органоциклоксилканов в присутствии ионных фторидов, методом ТГА на воздухе показало, что в условиях термического воздействия характер процессов, протекающих в полимере, в значительной степени определяется природой катиона.

Фториды щелочных металлов ( $\text{KF}$  и  $\text{CsF}$ ), присутствующие в полимере, при термическом воздействии на него катализируют процесс деполимеризации, снижая термическую стабильность полирганосилоксанов. Деполимеризация идет, по-видимому, и за счет силоксанолятов, образующихся в процессе полимеризации (в соответствии со схемой реакции). Так, полиметилфенилсилоксан, полученный в присутствии  $\text{CsF}$  и отделенный от непрореагировавшего катализатора фильтрованием, подвергается полной деструкции при  $280-300^\circ$  (рис. 3, а, кривая 1). Обработка этого полимера триметилхлорсиланом и последующее удаление избытка триметилхлорсилана приводит к увеличению термостабильности полимера (рис. 3, а кривая 2).

Для полидиметилсилоксана, полученного полимеризацией  $\text{Me}_4\text{NF}$  и прогретого в вакууме при  $150^\circ$  в течение 6 ч, начало потери в весе наблюдается при  $350^\circ$  ( $\approx 3\%$ ) и конечные потери веса не превышают 62% (рис. 3, б). Аналогичную термоокислительную стабильность проявляет полидиметилсилоксан, полученный полимеризацией  $\text{D}_4$  в присутствии  $\text{Bu}_4\text{NF} \cdot 2\text{H}_2\text{O}$ . Это указывает на низкую активность катализатора и концевых групп в процессе термоокислительной деструкции и связано с их распадом в процессе термообработки. Согласно лит. данным [8],  $\text{Me}_4\text{NF}$  и  $\text{Bu}_4\text{NF} \cdot 2\text{H}_2\text{O}$  являются термолабильными соединениями и разлагаются с образованием триметиламина и фтористого метила или гидрофторида трибутиламина и бутилена соответственно. Термический распад тетраоргanoаммониевых групп, образовавшихся при реакции тетраоргanoаммонийфторидов с органоциклоксилканами, протекает в условиях термообработки в соответствии с данными работы [9]. Таким образом, проведенные исследования показывают, что ионные фториды являются эффективными нуклеофильными катализаторами полимеризации органоциклоксилканов, и изучение их катализитической активности в этой реакции может представлять теоретический и практический интерес.

$\text{D}_3$  и  $\text{D}_4$  очищали перегонкой на ректификационной колонке над  $\text{CaH}_2$ .  $\text{A}_3$  (смесь *цис*- и *транс*-изомеров) очищали перегонкой и последующей перекристаллизацией из сухого гексана.

Кинетику полимеризации  $D_4$  изучали методом отбора проб. Отобранные пробы растворяли в толуоле, содержащем 0,05%  $(CH_3)_2SiCl$ , и определяли содержание  $D_4$  на хроматографе ЛХМ-8МД, колонка  $2 \times 004$  м, твердая фаза — хромосорб W, жидккая фаза — SE-30 (10%), газ-носитель — гелий. Температура колонки  $120^\circ$ , скорость газа 3600 мл/ч.

Приведены вязкости 1%-ных растворов в толуоле при  $20^\circ$ .

#### ЛИТЕРАТУРА

1. Таргаковская Л. М., Макаров И. Г., Казакова В. М., Копылов В. М., Жданов А. А. Изв. АН СССР. Сер. хим., 1980, № 12, с. 2818.
2. Андрианов К. А., Таргаковская Л. М., Копылов В. М., Семенцова Ж. Н. Ж. общ. химии, 1975, т. 45, № 1, с. 112.
3. Corey E. J., Snider B. B. J. Ameg. Chem. Soc., 1972, № 17, р. 6190.
4. Андрианов К. А., Таргаковская Л. М., Копылов В. М. А. с. 465931 (СССР).— Опубл. в Б. И., 1980, № 16, с. 306.
5. Южелевский Ю. А., Каган Е. Г., Тимофеева Н. П., Долецкая Т. Л., Клебанский А. Л. Высокомолек. соед. А, 1971, т. 13, № 1, с. 183.
6. Muller R., Dathe Ch. Z. anorgan. und allgem. Chem., 1965, B, 341, № 1, S. 41.
7. Muller R., Dathe Ch. Z. anorgan. und allgem. Chem., 1965, B, 341, № 1, S. 49.
8. Gennik I., Harmon K. M., Hartwig J. Inorg. Chem., 1977, v. 16, № 9, р. 2241.
9. Андрианов К. А., Ногайдели А. И., Хубулава Э. И., Копылов В. М., Хананашвили Л. М., Колчина А. Г. Высокомолек. соед. А, 1976, т. 18, № 12, с. 2619.

Институт элементоорганических  
соединений им. А. Н. Несмеянова  
АН СССР

Поступила в редакцию  
26.IV.1983

Московский институт тонкой  
химической технологии  
им. М. В. Ломоносова